

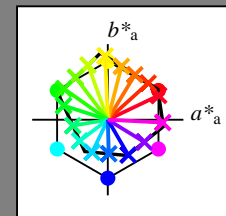
Ein und Ausgabe:
 Farbmetrisches Drucker-Reflektiv-System ORS20_95a

Daten für jede Farbe:
 u^*_e und Nummer *Nr.* = 00 .. 15

Elementar-Bunttextext:
 $u^*_e = 16$ Bunttoene *r00j, r25j, ..., b75r*

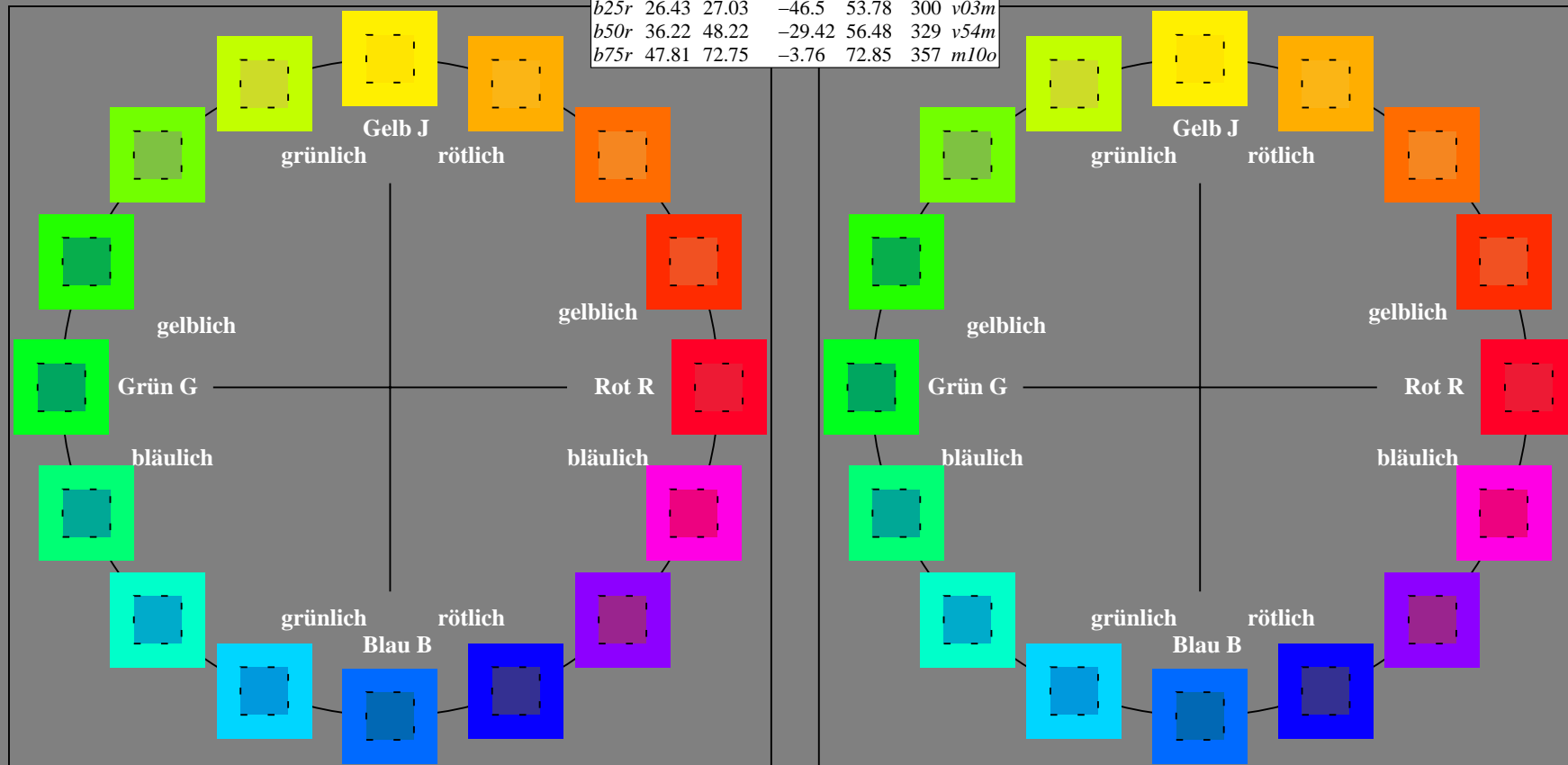
Kontrastreduzierungsfaktor:
 $c_R = 1.0$

ORS20_95a; adaptierte CIELAB-Daten						
u^*_e	$L^*=L^*_a$	a^*_a	b^*_a	$C^*_{ab,a}$	$h^*_{ab,a}$	u^*_d
<i>r00j</i>	47.06	67.41	32.12	74.67	25	<i>m84o</i>
<i>r25j</i>	53.95	53.38	48.38	72.04	42	<i>o17y</i>
<i>r50j</i>	63.6	35.87	59.45	69.43	59	<i>o42y</i>
<i>r75j</i>	73.37	18.14	70.66	72.95	76	<i>o68y</i>
<i>j00g</i>	85.24	-3.4	84.28	84.35	92	<i>o93y</i>
<i>j25g</i>	78.53	-25.99	72.23	76.76	110	<i>y24l</i>
<i>j50g</i>	68.25	-42.61	56.0	70.37	127	<i>y55l</i>
<i>j75g</i>	58.73	-57.99	40.99	71.02	145	<i>y85l</i>
<i>g00b</i>	55.66	-58.35	18.71	61.27	162	<i>l12c</i>
<i>g25b</i>	58.18	-46.2	-7.82	46.86	190	<i>l45c</i>
<i>g50b</i>	60.08	-37.02	-27.87	46.34	217	<i>l78c</i>
<i>g75b</i>	55.21	-20.63	-42.98	47.67	244	<i>c16v</i>
<i>b00r</i>	41.38	1.37	-45.05	45.07	272	<i>c58v</i>
<i>b25r</i>	26.43	27.03	-46.5	53.78	300	<i>v03m</i>
<i>b50r</i>	36.22	48.22	-29.42	56.48	329	<i>v54m</i>
<i>b75r</i>	47.81	72.75	-3.76	72.85	357	<i>m10o</i>



%Umfang
 $u^*_{rel} = 87$
 %Regularität
 $g^*_{H,rel} = 67$
 $g^*_{C,rel} = 59$

ORS20_95a; adaptierte CIELAB-Daten					
Name	$L^*=L^*_a$	a^*_a	b^*_a	$C^*_{ab,a}$	$h^*_{ab,a}$
O _{Ma}	46.89	66.19	40.28	77.48	31
Y _{Ma}	88.66	-9.62	88.21	88.73	96
L _{Ma}	54.22	-65.29	33.87	73.56	153
C _{Ma}	61.43	-30.53	-42.04	51.96	234
V _{Ma}	25.93	25.95	-47.37	54.01	299
M _{Ma}	47.92	73.53	-9.02	74.08	353
N _{Ma}	20.41	0.0	0.0	0.0	0
W _{Ma}	94.64	0.0	0.0	0.0	0
R _{CIE}	39.92	58.74	27.99	65.07	25
J _{CIE}	81.26	-2.89	71.56	71.62	92
G _{CIE}	52.23	-42.42	13.6	44.55	162
B _{CIE}	30.57	1.41	-46.47	46.49	272



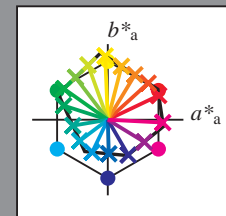
Ein und Ausgabe:
 Farbmatisches Drucker-Reflektiv-System ORS20_95a

Daten für jede Farbe:
 u^*_e und Nummer *Nr.* = 00 .. 15

Elementar-Bunttextext:
 $u^*_e = 16$ Bunttoene *r00j, r25j, ..., b75r*

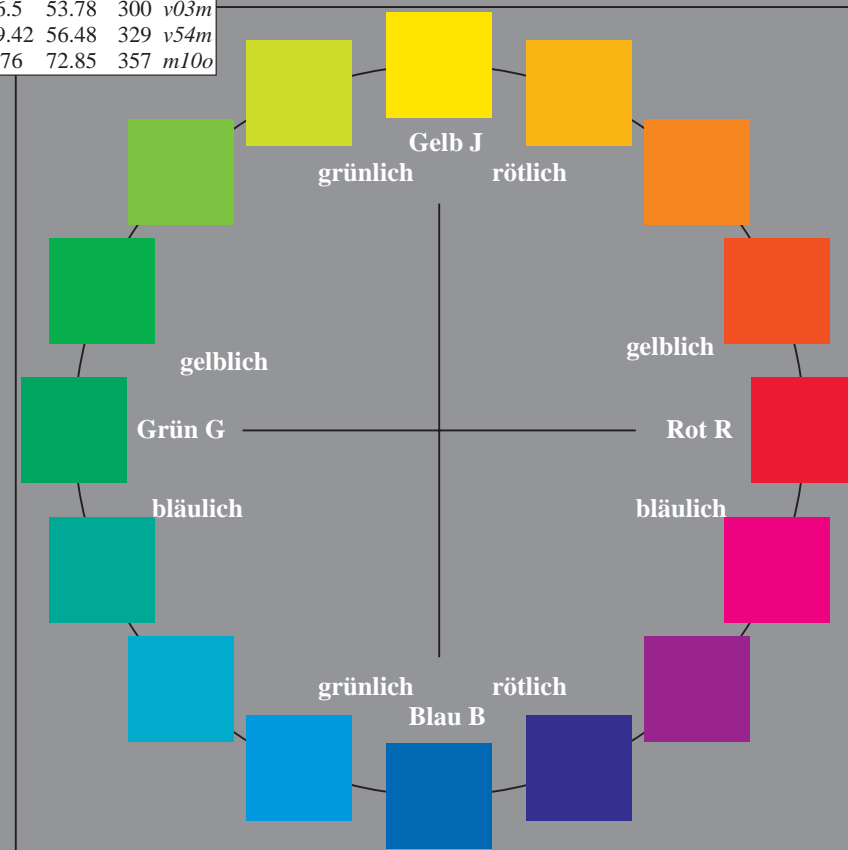
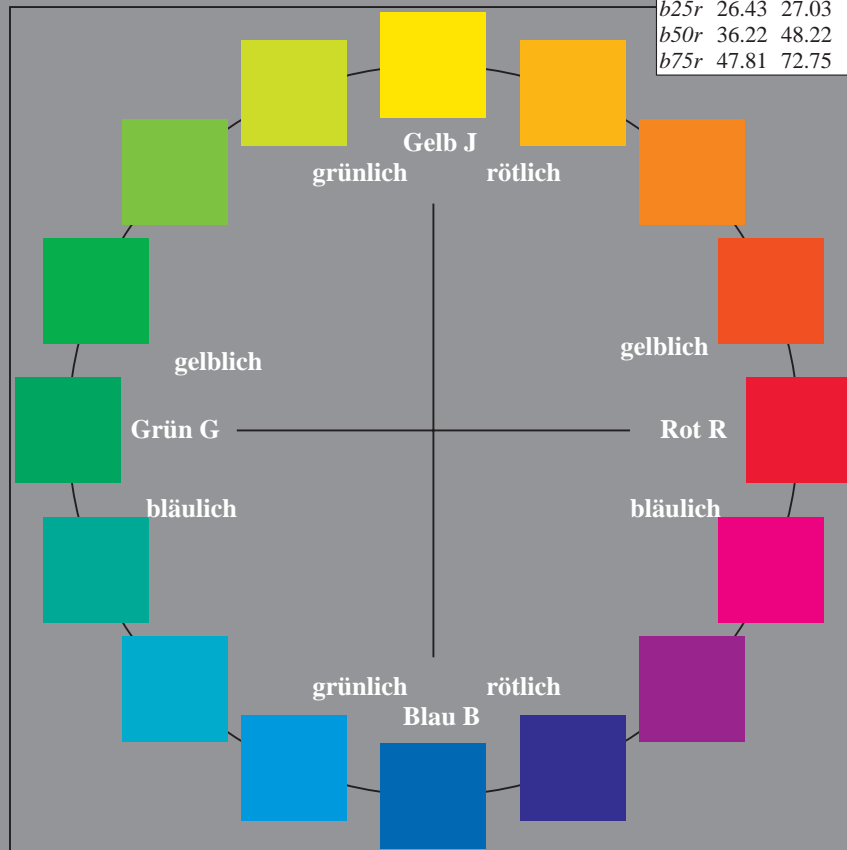
Kontrastreduzierungsfaktor:
 $c_R = 1.0$

ORS20_95a; adaptierte CIELAB-Daten						
u^*_e	$L^*=L^*_a$	a^*_a	b^*_a	$C^*_{ab,a}$	$h^*_{ab,a}$	u^*_d
r00j	47.06	67.41	32.12	74.67	25	m84o
r25j	53.95	53.38	48.38	72.04	42	o17y
r50j	63.6	35.87	59.45	69.43	59	o42y
r75j	73.37	18.14	70.66	72.95	76	o68y
j00g	85.24	-3.4	84.28	84.35	92	o93y
j25g	78.53	-25.99	72.23	76.76	110	y24l
j50g	68.25	-42.61	56.0	70.37	127	y55l
j75g	58.73	-57.99	40.99	71.02	145	y85l
g00b	55.66	-58.35	18.71	61.27	162	l12c
g25b	58.18	-46.2	-7.82	46.86	190	l45c
g50b	60.08	-37.02	-27.87	46.34	217	l78c
g75b	55.21	-20.63	-42.98	47.67	244	c16v
b00r	41.38	1.37	-45.05	45.07	272	c58v
b25r	26.43	27.03	-46.5	53.78	300	v03m
b50r	36.22	48.22	-29.42	56.48	329	v54m
b75r	47.81	72.75	-3.76	72.85	357	m10o



%Umfang
 $u^*_{rel} = 87$
 %Regularität
 $g^*_{H,rel} = 67$
 $g^*_{C,rel} = 59$

ORS20_95a; adaptierte CIELAB-Daten					
Name	$L^*=L^*_a$	a^*_a	b^*_a	$C^*_{ab,a}$	$h^*_{ab,a}$
O _{Ma}	46.89	66.19	40.28	77.48	31
Y _{Ma}	88.66	-9.62	88.21	88.73	96
L _{Ma}	54.22	-65.29	33.87	73.56	153
C _{Ma}	61.43	-30.53	-42.04	51.96	234
V _{Ma}	25.93	25.95	-47.37	54.01	299
M _{Ma}	47.92	73.53	-9.02	74.08	353
N _{Ma}	20.41	0.0	0.0	0.0	0
W _{Ma}	94.64	0.0	0.0	0.0	0
R _{CIE}	39.92	58.74	27.99	65.07	25
J _{CIE}	81.26	-2.89	71.56	71.62	92
G _{CIE}	52.23	-42.42	13.6	44.55	162
B _{CIE}	30.57	1.41	-46.47	46.49	272



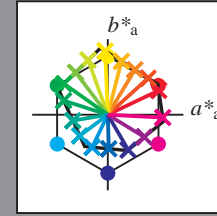
Ein und Ausgabe:
 Farbmetrisches Drucker-Reflektiv-System ORS20_95a

Daten für jede Farbe:
 u^*_e und Nummer $Nr. = 00 \dots 15$

Elementar-Bunttextext:
 $u^*_e = 16$ Bunttoene $r00j, r25j, \dots, b75r$

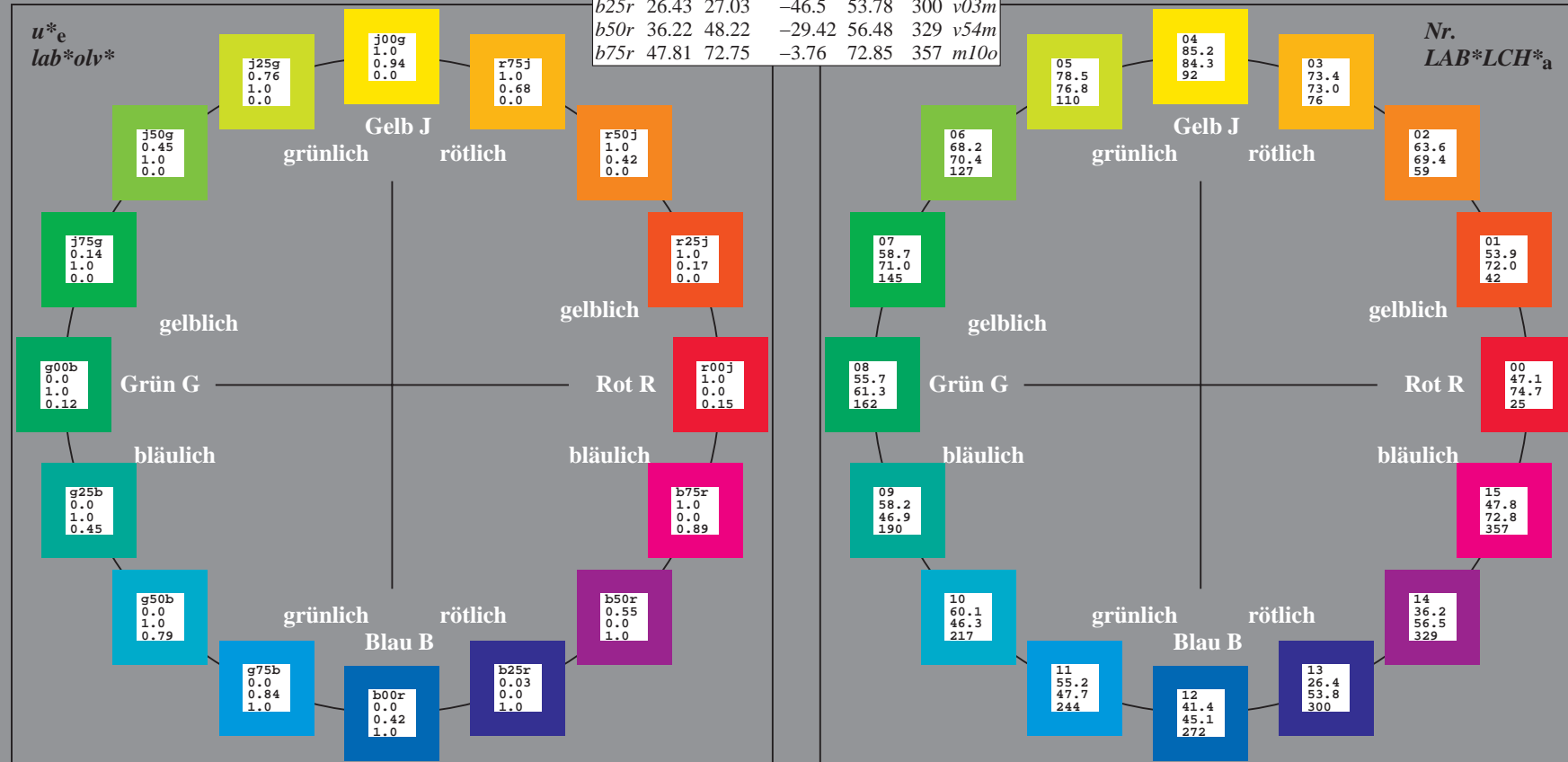
Kontrastreduzierungsfaktor:
 $c_R = 1.0$

ORS20_95a; adaptierte CIELAB-Daten						
u^*_e	$L^*=L^*_a$	a^*_a	b^*_a	$C^*_{ab,a}$	$h^*_{ab,a}$	u^*_d
<i>r00j</i>	47.06	67.41	32.12	74.67	25	<i>m84o</i>
<i>r25j</i>	53.95	53.38	48.38	72.04	42	<i>o17y</i>
<i>r50j</i>	63.6	35.87	59.45	69.43	59	<i>o42y</i>
<i>r75j</i>	73.37	18.14	70.66	72.95	76	<i>o68y</i>
<i>j00g</i>	85.24	-3.4	84.28	84.35	92	<i>o93y</i>
<i>j25g</i>	78.53	-25.99	72.23	76.76	110	<i>y24l</i>
<i>j50g</i>	68.25	-42.61	56.0	70.37	127	<i>y55l</i>
<i>j75g</i>	58.73	-57.99	40.99	71.02	145	<i>y85l</i>
<i>g00b</i>	55.66	-58.35	18.71	61.27	162	<i>l12c</i>
<i>g25b</i>	58.18	-46.2	-7.82	46.86	190	<i>l45c</i>
<i>g50b</i>	60.08	-37.02	-27.87	46.34	217	<i>l78c</i>
<i>g75b</i>	55.21	-20.63	-42.98	47.67	244	<i>c16v</i>
<i>b00r</i>	41.38	1.37	-45.05	45.07	272	<i>c58v</i>
<i>b25r</i>	26.43	27.03	-46.5	53.78	300	<i>v03m</i>
<i>b50r</i>	36.22	48.22	-29.42	56.48	329	<i>v54m</i>
<i>b75r</i>	47.81	72.75	-3.76	72.85	357	<i>m10o</i>



%Umfang
 $u^*_{rel} = 87$
 %Regularität
 $g^*_{H,rel} = 67$
 $g^*_{C,rel} = 59$

ORS20_95a; adaptierte CIELAB-Daten					
Name	$L^*=L^*_a$	a^*_a	b^*_a	$C^*_{ab,a}$	$h^*_{ab,a}$
O _{Ma}	46.89	66.19	40.28	77.48	31
Y _{Ma}	88.66	-9.62	88.21	88.73	96
L _{Ma}	54.22	-65.29	33.87	73.56	153
C _{Ma}	61.43	-30.53	-42.04	51.96	234
V _{Ma}	25.93	25.95	-47.37	54.01	299
M _{Ma}	47.92	73.53	-9.02	74.08	353
N _{Ma}	20.41	0.0	0.0	0.0	0
W _{Ma}	94.64	0.0	0.0	0.0	0
R _{CIE}	39.92	58.74	27.99	65.07	25
J _{CIE}	81.26	-2.89	71.56	71.62	92
G _{CIE}	52.23	-42.42	13.6	44.55	162
B _{CIE}	30.57	1.41	-46.47	46.49	272



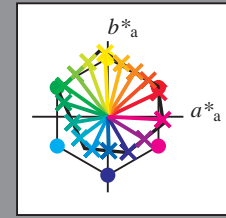
Ein und Ausgabe:
 Farbmetrisches Drucker-Reflektiv-System ORS20_95a

Daten für jede Farbe:
 u^*_e und Nummer $Nr. = 00 \dots 15$

Elementar-Bunttextext:
 $u^*_e = 16$ Bunttoene $r00j, r25j, \dots, b75r$

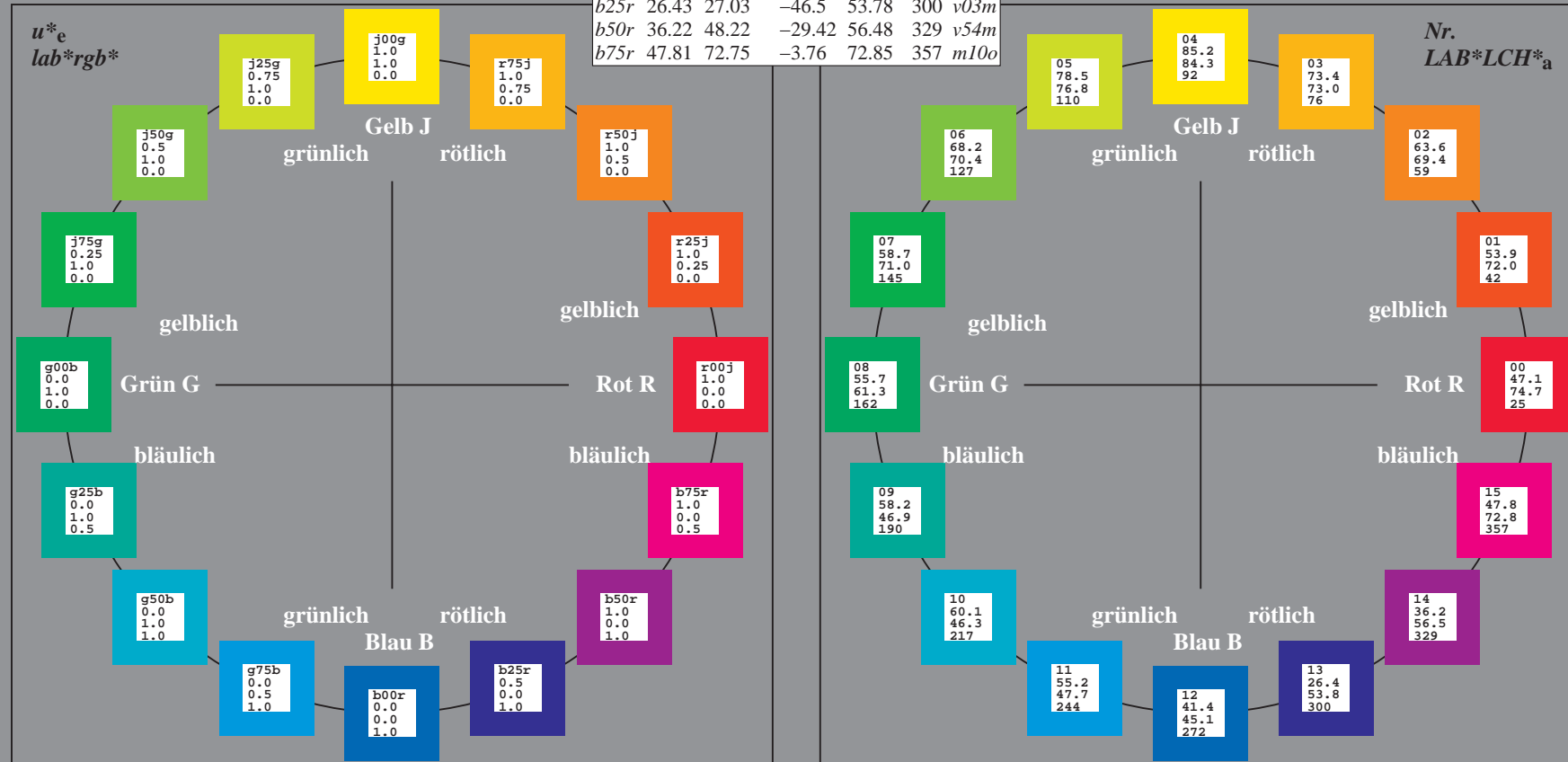
Kontrastreduzierungsfaktor:
 $c_R = 1.0$

ORS20_95a; adaptierte CIELAB-Daten						
u^*_e	$L^*=L^*_a$	a^*_a	b^*_a	$C^*_{ab,a}$	$h^*_{ab,a}$	u^*_d
<i>r00j</i>	47.06	67.41	32.12	74.67	25	<i>m84o</i>
<i>r25j</i>	53.95	53.38	48.38	72.04	42	<i>o17y</i>
<i>r50j</i>	63.6	35.87	59.45	69.43	59	<i>o42y</i>
<i>r75j</i>	73.37	18.14	70.66	72.95	76	<i>o68y</i>
<i>j00g</i>	85.24	-3.4	84.28	84.35	92	<i>o93y</i>
<i>j25g</i>	78.53	-25.99	72.23	76.76	110	<i>y24l</i>
<i>j50g</i>	68.25	-42.61	56.0	70.37	127	<i>y55l</i>
<i>j75g</i>	58.73	-57.99	40.99	71.02	145	<i>y85l</i>
<i>g00b</i>	55.66	-58.35	18.71	61.27	162	<i>l12c</i>
<i>g25b</i>	58.18	-46.2	-7.82	46.86	190	<i>l45c</i>
<i>g50b</i>	60.08	-37.02	-27.87	46.34	217	<i>l78c</i>
<i>g75b</i>	55.21	-20.63	-42.98	47.67	244	<i>c16v</i>
<i>b00r</i>	41.38	1.37	-45.05	45.07	272	<i>c58v</i>
<i>b25r</i>	26.43	27.03	-46.5	53.78	300	<i>v03m</i>
<i>b50r</i>	36.22	48.22	-29.42	56.48	329	<i>v54m</i>
<i>b75r</i>	47.81	72.75	-3.76	72.85	357	<i>m10o</i>



%Umfang
 $u^*_{rel} = 87$
 %Regularität
 $g^*_{H,rel} = 67$
 $g^*_{C,rel} = 59$

ORS20_95a; adaptierte CIELAB-Daten					
Name	$L^*=L^*_a$	a^*_a	b^*_a	$C^*_{ab,a}$	$h^*_{ab,a}$
O _{Ma}	46.89	66.19	40.28	77.48	31
Y _{Ma}	88.66	-9.62	88.21	88.73	96
L _{Ma}	54.22	-65.29	33.87	73.56	153
C _{Ma}	61.43	-30.53	-42.04	51.96	234
V _{Ma}	25.93	25.95	-47.37	54.01	299
M _{Ma}	47.92	73.53	-9.02	74.08	353
N _{Ma}	20.41	0.0	0.0	0.0	0
W _{Ma}	94.64	0.0	0.0	0.0	0
R _{CIE}	39.92	58.74	27.99	65.07	25
J _{CIE}	81.26	-2.89	71.56	71.62	92
G _{CIE}	52.23	-42.42	13.6	44.55	162
B _{CIE}	30.57	1.41	-46.47	46.49	272



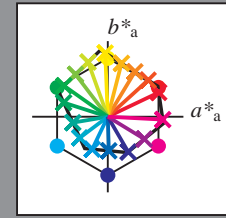
Ein und Ausgabe:
 Farbmetrisches Drucker-Reflektiv-System ORS20_95a

Daten für jede Farbe:
 u^*_e und Nummer $Nr. = 00 \dots 15$

Elementar-Bunttextext:
 $u^*_e = 16$ Bunttoene $r00j, r25j, \dots, b75r$

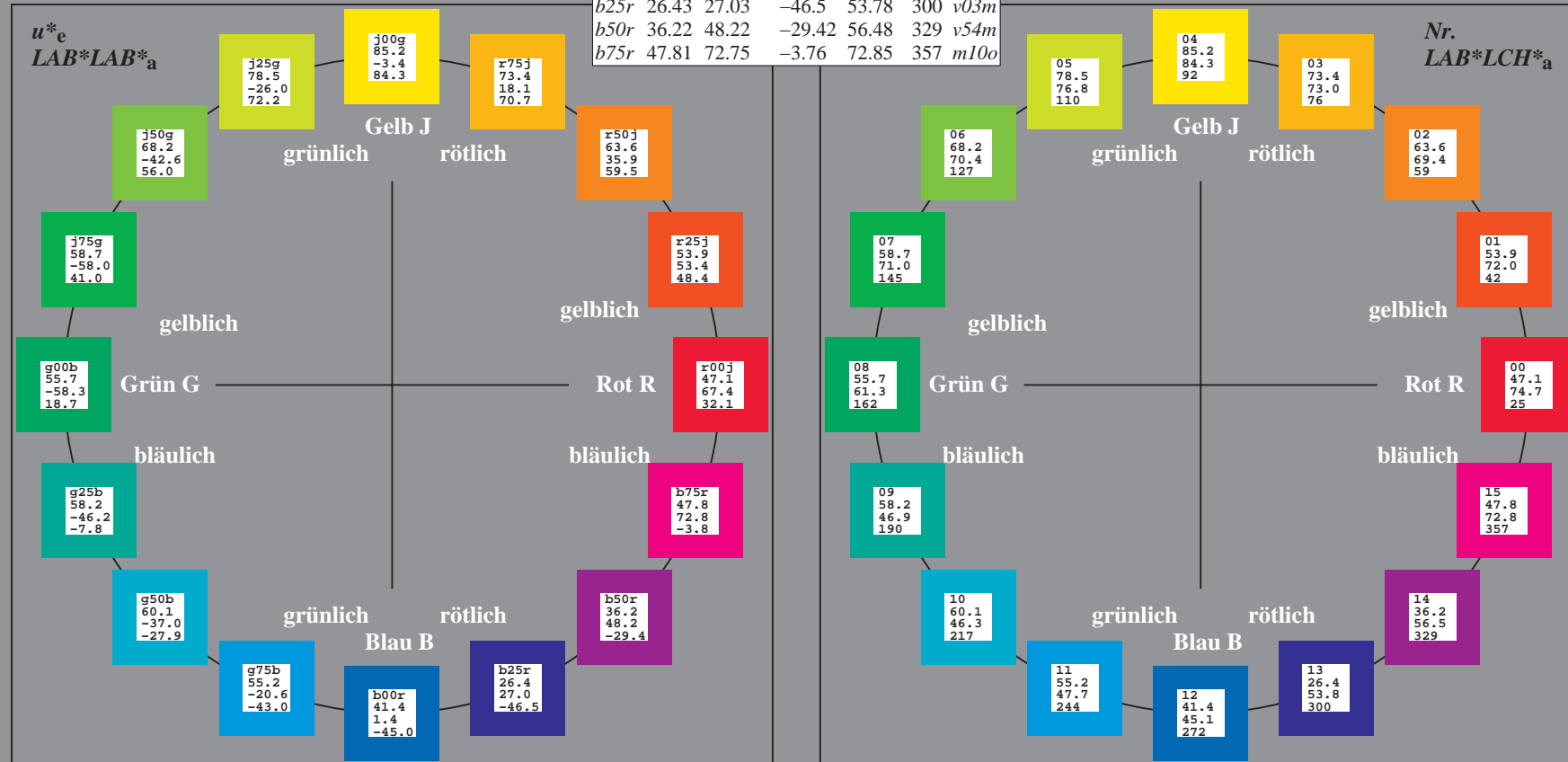
Kontrastreduzierungsfaktor:
 $c_R = 1.0$

ORS20_95a; adaptierte CIELAB-Daten						
u^*_e	$L^*=L^*_a$	a^*_a	b^*_a	$C^*_{ab,a}$	$h^*_{ab,a}$	u^*_d
<i>r00j</i>	47.06	67.41	32.12	74.67	25	<i>m84o</i>
<i>r25j</i>	53.95	53.38	48.38	72.04	42	<i>o17y</i>
<i>r50j</i>	63.6	35.87	59.45	69.43	59	<i>o42y</i>
<i>r75j</i>	73.37	18.14	70.66	72.95	76	<i>o68y</i>
<i>j00g</i>	85.24	-3.4	84.28	84.35	92	<i>o93y</i>
<i>j25g</i>	78.53	-25.99	72.23	76.76	110	<i>y24l</i>
<i>j50g</i>	68.25	-42.61	56.0	70.37	127	<i>y55l</i>
<i>j75g</i>	58.73	-57.99	40.99	71.02	145	<i>y85l</i>
<i>g00b</i>	55.66	-58.35	18.71	61.27	162	<i>l12c</i>
<i>g25b</i>	58.18	-46.2	-7.82	46.86	190	<i>l45c</i>
<i>g50b</i>	60.08	-37.02	-27.87	46.34	217	<i>l78c</i>
<i>g75b</i>	55.21	-20.63	-42.98	47.67	244	<i>c16v</i>
<i>b00r</i>	41.38	1.37	-45.05	45.07	272	<i>c58v</i>
<i>b25r</i>	26.43	27.03	-46.5	53.78	300	<i>v03m</i>
<i>b50r</i>	36.22	48.22	-29.42	56.48	329	<i>v54m</i>
<i>b75r</i>	47.81	72.75	-3.76	72.85	357	<i>m10o</i>



%Umfang
 $u^*_{rel} = 87$
 %Regularität
 $g^*_{H,rel} = 67$
 $g^*_{C,rel} = 59$

ORS20_95a; adaptierte CIELAB-Daten					
Name	$L^*=L^*_a$	a^*_a	b^*_a	$C^*_{ab,a}$	$h^*_{ab,a}$
O _{Ma}	46.89	66.19	40.28	77.48	31
Y _{Ma}	88.66	-9.62	88.21	88.73	96
L _{Ma}	54.22	-65.29	33.87	73.56	153
C _{Ma}	61.43	-30.53	-42.04	51.96	234
V _{Ma}	25.93	25.95	-47.37	54.01	299
M _{Ma}	47.92	73.53	-9.02	74.08	353
N _{Ma}	20.41	0.0	0.0	0.0	0
W _{Ma}	94.64	0.0	0.0	0.0	0
R _{CIE}	39.92	58.74	27.99	65.07	25
J _{CIE}	81.26	-2.89	71.56	71.62	92
G _{CIE}	52.23	-42.42	13.6	44.55	162
B _{CIE}	30.57	1.41	-46.47	46.49	272



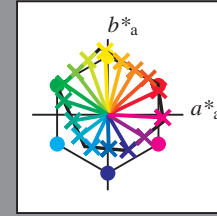
Ein und Ausgabe:
 Farbmetrisches Drucker-Reflektiv-System ORS20_95a

Daten für jede Farbe:
 u^*_e und Nummer $Nr. = 00 \dots 15$

Elementar-Bunttextext:
 $u^*_e = 16$ Bunttoene $r00j, r25j, \dots, b75r$

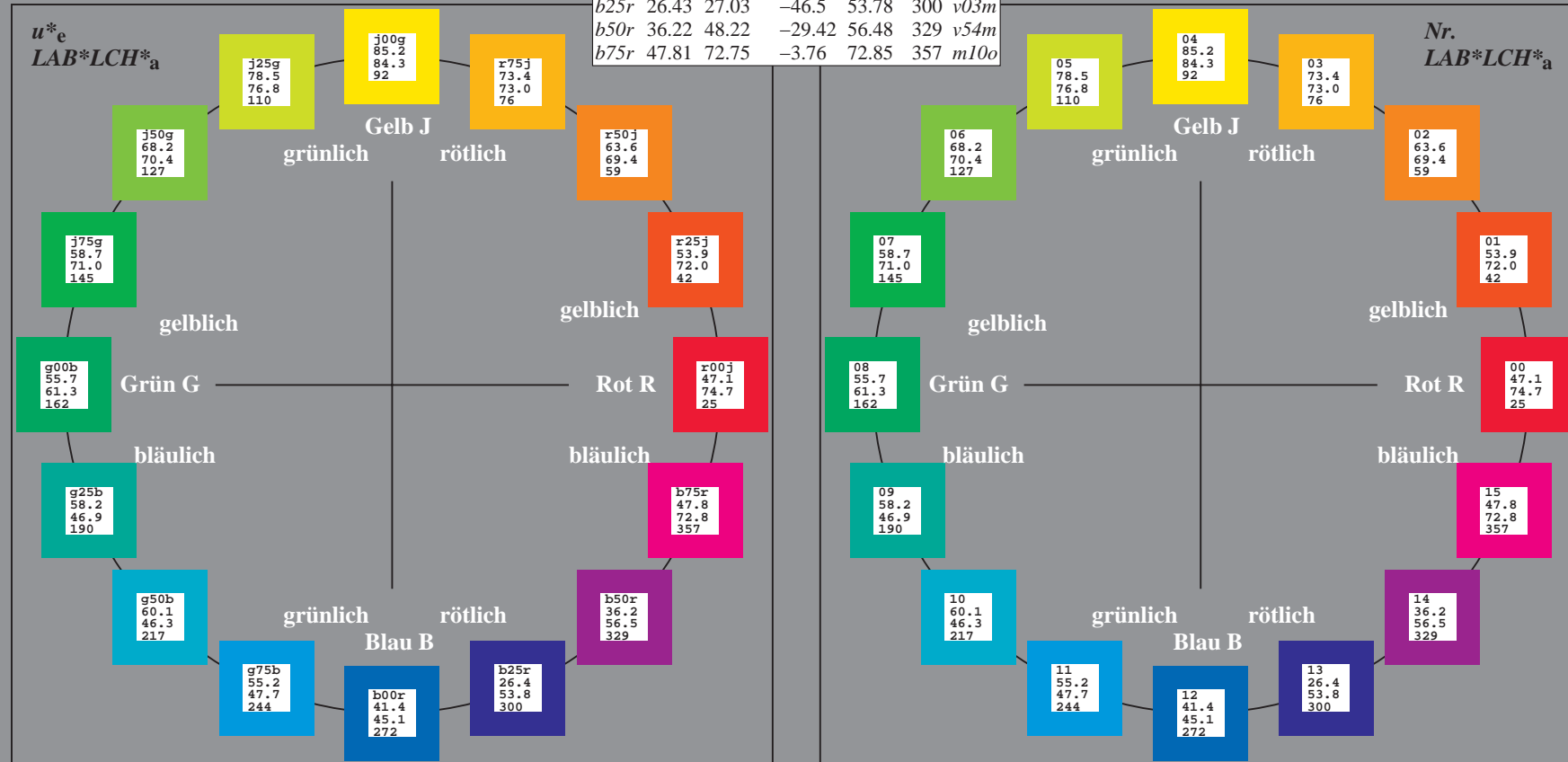
Kontrastreduzierungsfaktor:
 $c_R = 1.0$

ORS20_95a; adaptierte CIELAB-Daten						
u^*_e	$L^*=L^*_a$	a^*_a	b^*_a	$C^*_{ab,a}$	$h^*_{ab,a}$	u^*_d
<i>r00j</i>	47.06	67.41	32.12	74.67	25	<i>m84o</i>
<i>r25j</i>	53.95	53.38	48.38	72.04	42	<i>o17y</i>
<i>r50j</i>	63.6	35.87	59.45	69.43	59	<i>o42y</i>
<i>r75j</i>	73.37	18.14	70.66	72.95	76	<i>o68y</i>
<i>j00g</i>	85.24	-3.4	84.28	84.35	92	<i>o93y</i>
<i>j25g</i>	78.53	-25.99	72.23	76.76	110	<i>y24l</i>
<i>j50g</i>	68.25	-42.61	56.0	70.37	127	<i>y55l</i>
<i>j75g</i>	58.73	-57.99	40.99	71.02	145	<i>y85l</i>
<i>g00b</i>	55.66	-58.35	18.71	61.27	162	<i>l12c</i>
<i>g25b</i>	58.18	-46.2	-7.82	46.86	190	<i>l45c</i>
<i>g50b</i>	60.08	-37.02	-27.87	46.34	217	<i>l78c</i>
<i>g75b</i>	55.21	-20.63	-42.98	47.67	244	<i>c16v</i>
<i>b00r</i>	41.38	1.37	-45.05	45.07	272	<i>c58v</i>
<i>b25r</i>	26.43	27.03	-46.5	53.78	300	<i>v03m</i>
<i>b50r</i>	36.22	48.22	-29.42	56.48	329	<i>v54m</i>
<i>b75r</i>	47.81	72.75	-3.76	72.85	357	<i>m10o</i>



%Umfang
 $u^*_{rel} = 87$
 %Regularität
 $g^*_{H,rel} = 67$
 $g^*_{C,rel} = 59$

ORS20_95a; adaptierte CIELAB-Daten					
Name	$L^*=L^*_a$	a^*_a	b^*_a	$C^*_{ab,a}$	$h^*_{ab,a}$
O _{Ma}	46.89	66.19	40.28	77.48	31
Y _{Ma}	88.66	-9.62	88.21	88.73	96
L _{Ma}	54.22	-65.29	33.87	73.56	153
C _{Ma}	61.43	-30.53	-42.04	51.96	234
V _{Ma}	25.93	25.95	-47.37	54.01	299
M _{Ma}	47.92	73.53	-9.02	74.08	353
N _{Ma}	20.41	0.0	0.0	0.0	0
W _{Ma}	94.64	0.0	0.0	0.0	0
R _{CIE}	39.92	58.74	27.99	65.07	25
J _{CIE}	81.26	-2.89	71.56	71.62	92
G _{CIE}	52.23	-42.42	13.6	44.55	162
B _{CIE}	30.57	1.41	-46.47	46.49	272



Fg500-7A, Seite 91/198

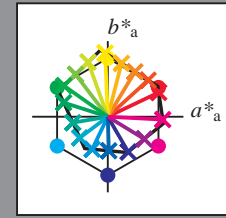
Ein und Ausgabe:
 Farbmetrisches Drucker-Reflektiv-System ORS20_95a

Daten für jede Farbe:
 u^*_e und Nummer $Nr. = 00 \dots 15$

Elementar-Bunttextext:
 $u^*_e = 16$ Bunttoene $r00j, r25j, \dots, b75r$

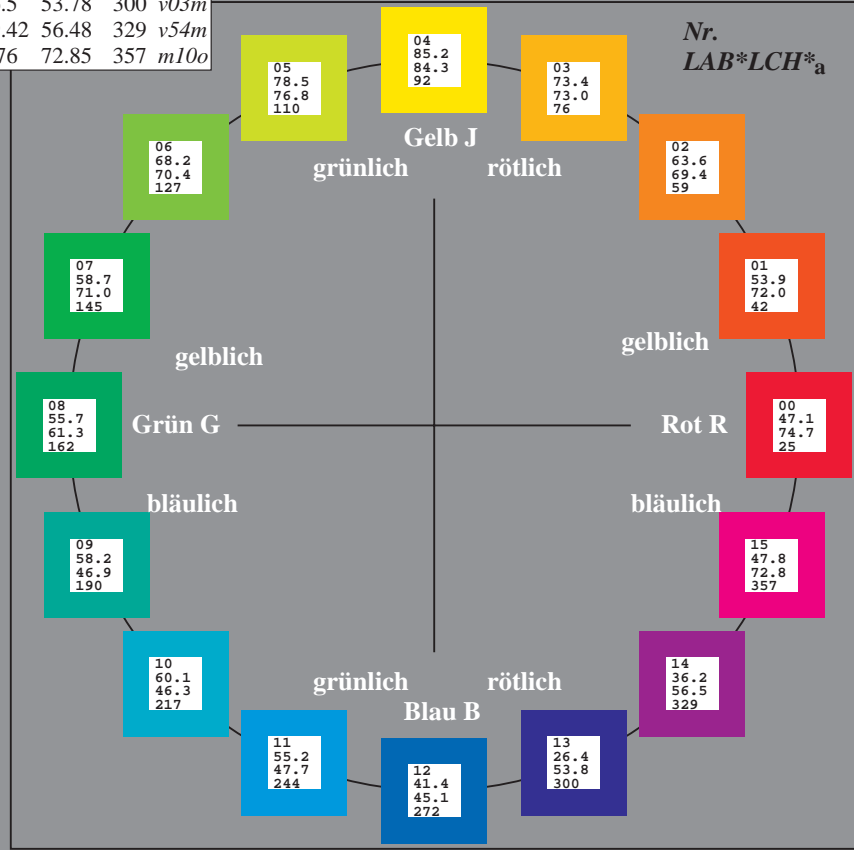
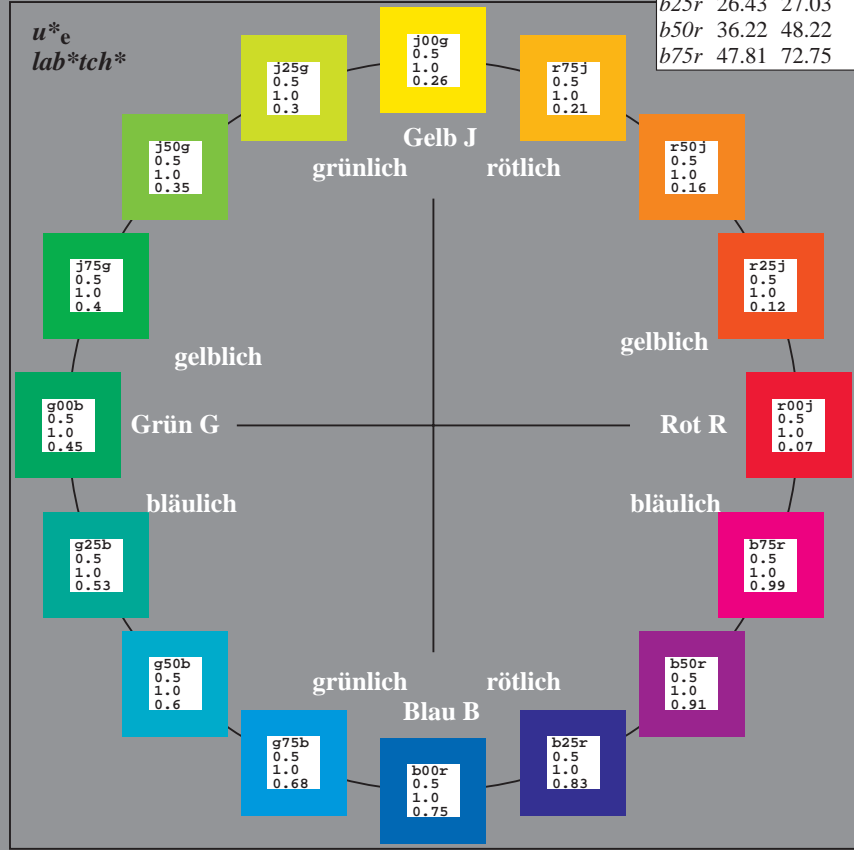
Kontrastreduzierungsfaktor:
 $c_R = 1.0$

ORS20_95a; adaptierte CIELAB-Daten						
u^*_e	$L^*=L^*_a$	a^*_a	b^*_a	$C^*_{ab,a}$	$h^*_{ab,a}$	u^*_d
<i>r00j</i>	47.06	67.41	32.12	74.67	25	<i>m84o</i>
<i>r25j</i>	53.95	53.38	48.38	72.04	42	<i>o17y</i>
<i>r50j</i>	63.6	35.87	59.45	69.43	59	<i>o42y</i>
<i>r75j</i>	73.37	18.14	70.66	72.95	76	<i>o68y</i>
<i>j00g</i>	85.24	-3.4	84.28	84.35	92	<i>o93y</i>
<i>j25g</i>	78.53	-25.99	72.23	76.76	110	<i>y24l</i>
<i>j50g</i>	68.25	-42.61	56.0	70.37	127	<i>y55l</i>
<i>j75g</i>	58.73	-57.99	40.99	71.02	145	<i>y85l</i>
<i>g00b</i>	55.66	-58.35	18.71	61.27	162	<i>l12c</i>
<i>g25b</i>	58.18	-46.2	-7.82	46.86	190	<i>l45c</i>
<i>g50b</i>	60.08	-37.02	-27.87	46.34	217	<i>l78c</i>
<i>g75b</i>	55.21	-20.63	-42.98	47.67	244	<i>c16v</i>
<i>b00r</i>	41.38	1.37	-45.05	45.07	272	<i>c58v</i>
<i>b25r</i>	26.43	27.03	-46.5	53.78	300	<i>v03m</i>
<i>b50r</i>	36.22	48.22	-29.42	56.48	329	<i>v54m</i>
<i>b75r</i>	47.81	72.75	-3.76	72.85	357	<i>m10o</i>



%Umfang
 $u^*_{rel} = 87$
 %Regularität
 $g^*_{H,rel} = 67$
 $g^*_{C,rel} = 59$

ORS20_95a; adaptierte CIELAB-Daten					
Name	$L^*=L^*_a$	a^*_a	b^*_a	$C^*_{ab,a}$	$h^*_{ab,a}$
O _{Ma}	46.89	66.19	40.28	77.48	31
Y _{Ma}	88.66	-9.62	88.21	88.73	96
L _{Ma}	54.22	-65.29	33.87	73.56	153
C _{Ma}	61.43	-30.53	-42.04	51.96	234
V _{Ma}	25.93	25.95	-47.37	54.01	299
M _{Ma}	47.92	73.53	-9.02	74.08	353
N _{Ma}	20.41	0.0	0.0	0.0	0
W _{Ma}	94.64	0.0	0.0	0.0	0
R _{CIE}	39.92	58.74	27.99	65.07	25
J _{CIE}	81.26	-2.89	71.56	71.62	92
G _{CIE}	52.23	-42.42	13.6	44.55	162
B _{CIE}	30.57	1.41	-46.47	46.49	272



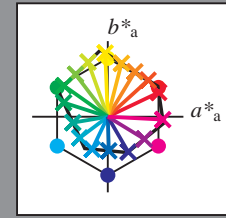
Ein und Ausgabe:
 Farbmetrisches Drucker-Reflektiv-System ORS20_95a

Daten für jede Farbe:
 u^*_e und Nummer $Nr. = 00 \dots 15$

Elementar-Bunttextext:
 $u^*_e = 16$ Bunttoene $r00j, r25j, \dots, b75r$

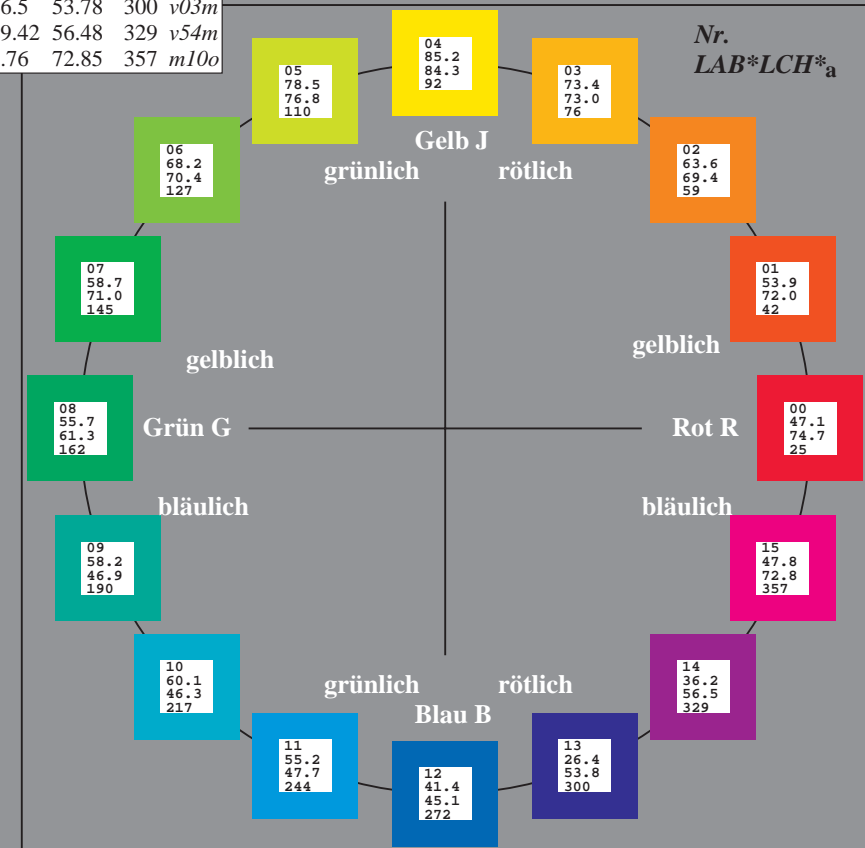
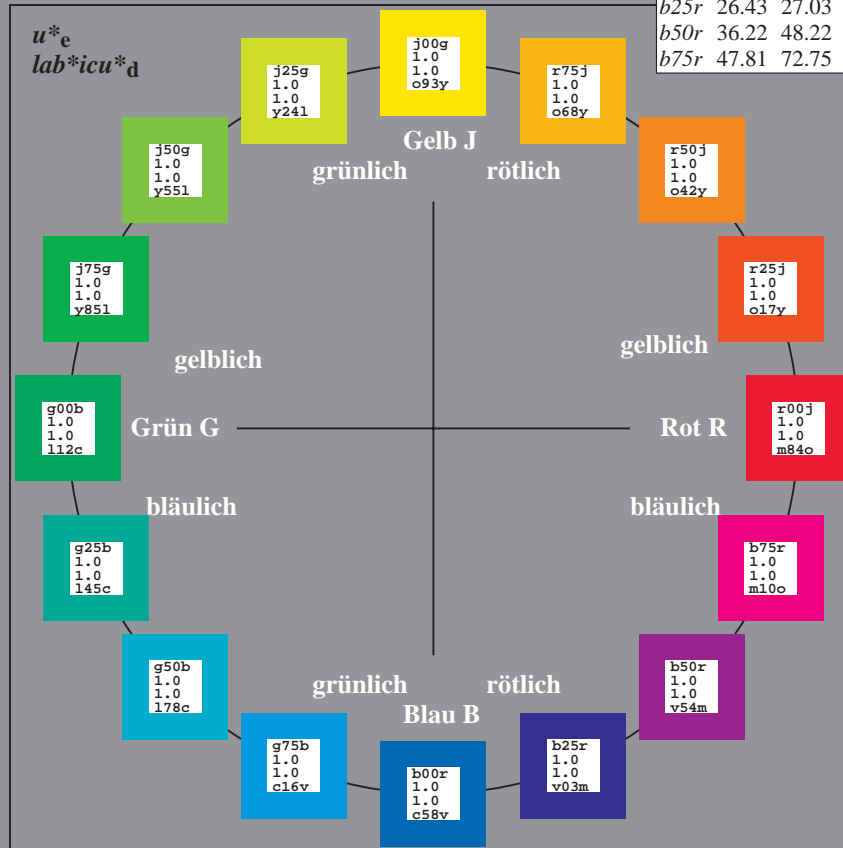
Kontrastreduzierungsfaktor:
 $c_R = 1.0$

ORS20_95a; adaptierte CIELAB-Daten						
u^*_e	$L^*=L^*_a$	a^*_a	b^*_a	$C^*_{ab,a}$	$h^*_{ab,a}$	u^*_d
r00j	47.06	67.41	32.12	74.67	25	m84o
r25j	53.95	53.38	48.38	72.04	42	o17y
r50j	63.6	35.87	59.45	69.43	59	o42y
r75j	73.37	18.14	70.66	72.95	76	o68y
j00g	85.24	-3.4	84.28	84.35	92	o93y
j25g	78.53	-25.99	72.23	76.76	110	y24l
j50g	68.25	-42.61	56.0	70.37	127	y55l
j75g	58.73	-57.99	40.99	71.02	145	y85l
g00b	55.66	-58.35	18.71	61.27	162	l12c
g25b	58.18	-46.2	-7.82	46.86	190	l45c
g50b	60.08	-37.02	-27.87	46.34	217	l78c
g75b	55.21	-20.63	-42.98	47.67	244	c16v
b00r	41.38	1.37	-45.05	45.07	272	c58v
b25r	26.43	27.03	-46.5	53.78	300	v03m
b50r	36.22	48.22	-29.42	56.48	329	v54m
b75r	47.81	72.75	-3.76	72.85	357	m10o



%Umfang
 $u^*_{rel} = 87$
 %Regularität
 $g^*_{H,rel} = 67$
 $g^*_{C,rel} = 59$

ORS20_95a; adaptierte CIELAB-Daten					
Name	$L^*=L^*_a$	a^*_a	b^*_a	$C^*_{ab,a}$	$h^*_{ab,a}$
OMa	46.89	66.19	40.28	77.48	31
YMa	88.66	-9.62	88.21	88.73	96
LMa	54.22	-65.29	33.87	73.56	153
CMa	61.43	-30.53	-42.04	51.96	234
VMa	25.93	25.95	-47.37	54.01	299
MMa	47.92	73.53	-9.02	74.08	353
NMa	20.41	0.0	0.0	0.0	0
WMa	94.64	0.0	0.0	0.0	0
RCIE	39.92	58.74	27.99	65.07	25
JCIE	81.26	-2.89	71.56	71.62	92
GCIE	52.23	-42.42	13.6	44.55	162
BCIE	30.57	1.41	-46.47	46.49	272



Ein und Ausgabe:
 Farbmetrisches Drucker-Reflektiv-System ORS20_95a

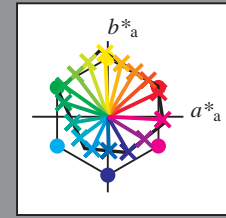
Daten für jede Farbe:
 u^*_e und Nummer $Nr. = 00 \dots 15$

Elementar-Bunttextext:
 $u^*_e = 16$ Bunttoene $r00j, r25j, \dots, b75r$

Kontrastreduzierungsfaktor:
 $c_R = 1.0$

ORS20_95a; adaptierte CIELAB-Daten

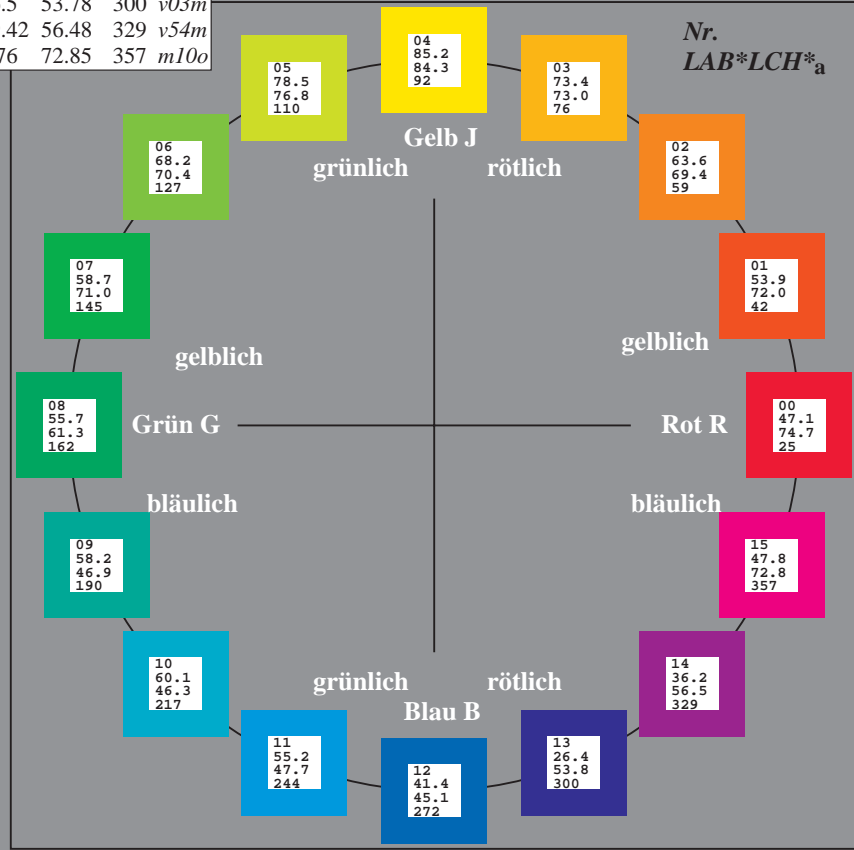
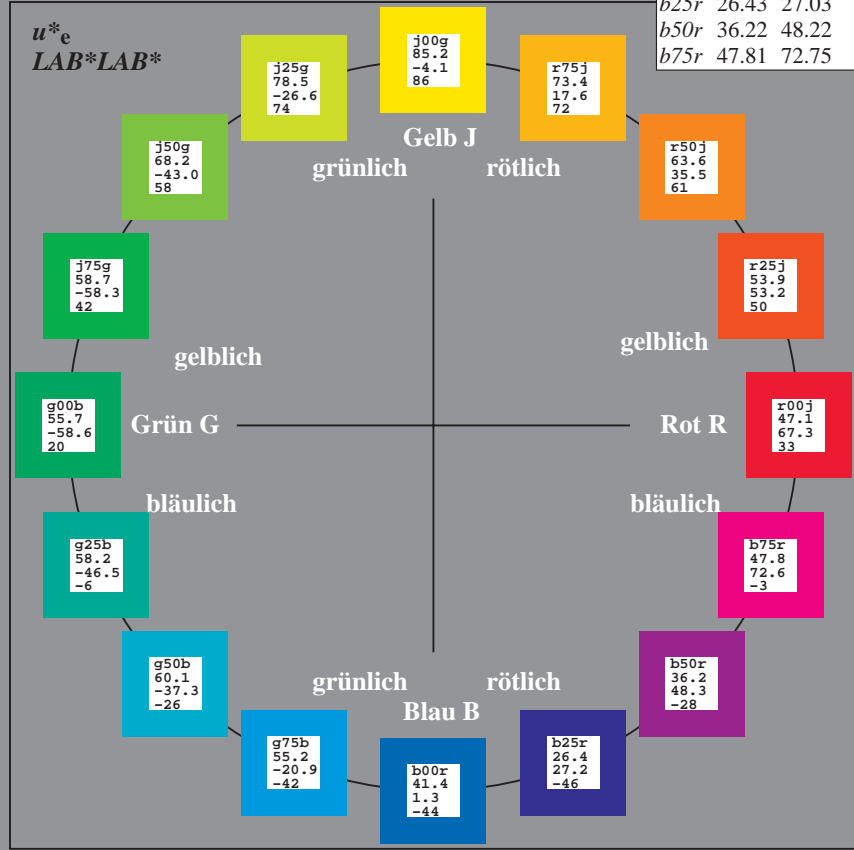
u^*_e	$L^*=L^*_a$	a^*_a	b^*_a	$C^*_{ab,a}$	$h^*_{ab,a}$	u^*_d
r00j	47.06	67.41	32.12	74.67	25	m84o
r25j	53.95	53.38	48.38	72.04	42	o17y
r50j	63.6	35.87	59.45	69.43	59	o42y
r75j	73.37	18.14	70.66	72.95	76	o68y
j00g	85.24	-3.4	84.28	84.35	92	o93y
j25g	78.53	-25.99	72.23	76.76	110	y24l
j50g	68.25	-42.61	56.0	70.37	127	y55l
j75g	58.73	-57.99	40.99	71.02	145	y85l
g00b	55.66	-58.35	18.71	61.27	162	l12c
g25b	58.18	-46.2	-7.82	46.86	190	l45c
g50b	60.08	-37.02	-27.87	46.34	217	l78c
g75b	55.21	-20.63	-42.98	47.67	244	c16v
b00r	41.38	1.37	-45.05	45.07	272	c58v
b25r	26.43	27.03	-46.5	53.78	300	v03m
b50r	36.22	48.22	-29.42	56.48	329	v54m
b75r	47.81	72.75	-3.76	72.85	357	m10o



%Umfang
 $u^*_{rel} = 87$
 %Regularität
 $g^*_{H,rel} = 67$
 $g^*_{C,rel} = 59$

ORS20_95; CIELAB-Daten

Name	$L^*=L^*$	a^*	b^*	C^*_{ab}	h^*_{ab}
O _M	46.89	66.08	41.48	78.02	32
Y _M	88.66	-10.34	90.28	90.87	97
L _M	54.22	-65.51	35.22	74.38	152
C _M	61.43	-30.85	-40.54	50.94	233
V _M	25.93	26.15	-46.61	53.44	299
M _M	47.92	73.41	-7.8	73.82	354
N _M	20.41	0.28	0.64	0.7	66
W _M	94.64	-0.81	2.2	2.34	110
R _{CIE}	39.92	58.74	27.99	65.07	25
J _{CIE}	81.26	-2.89	71.56	71.62	92
G _{CIE}	52.23	-42.42	13.6	44.55	162
B _{CIE}	30.57	1.41	-46.47	46.49	272



Ein und Ausgabe:
 Farbmetrisches Drucker-Reflektiv-System ORS20_95a

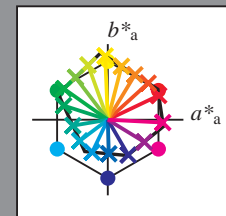
Daten für jede Farbe:
 u^*_e und Nummer $Nr. = 00 \dots 15$

Elementar-Bunttextext:
 $u^*_e = 16$ Bunttoene $r00j, r25j, \dots, b75r$

Kontrastreduzierungsfaktor:
 $c_R = 1.0$

ORS20_95a; adaptierte CIELAB-Daten

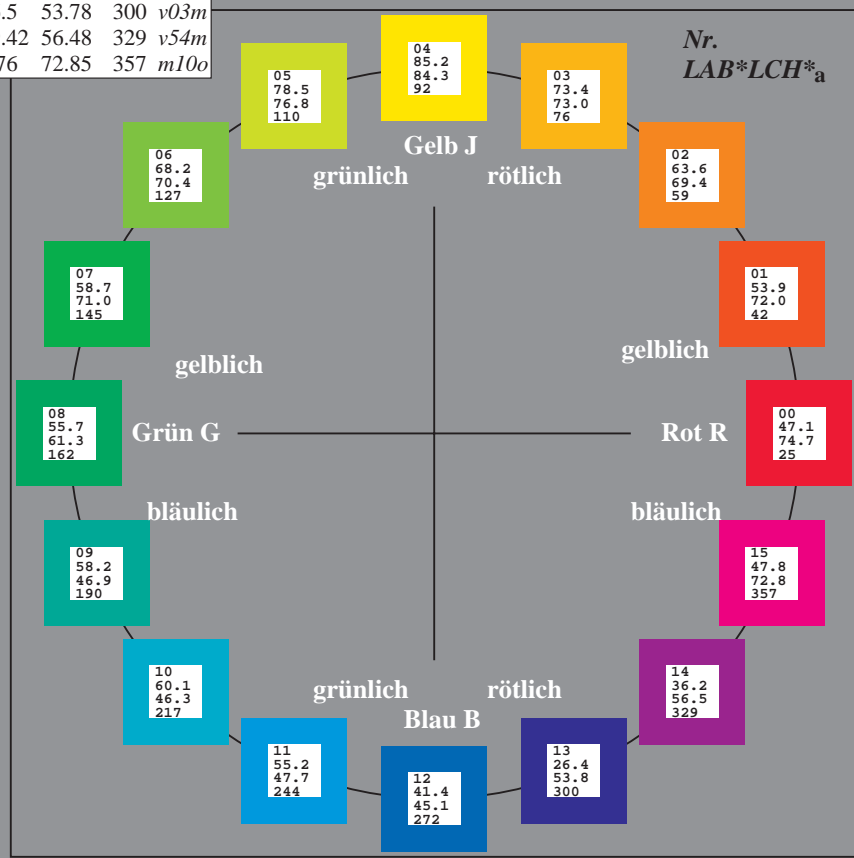
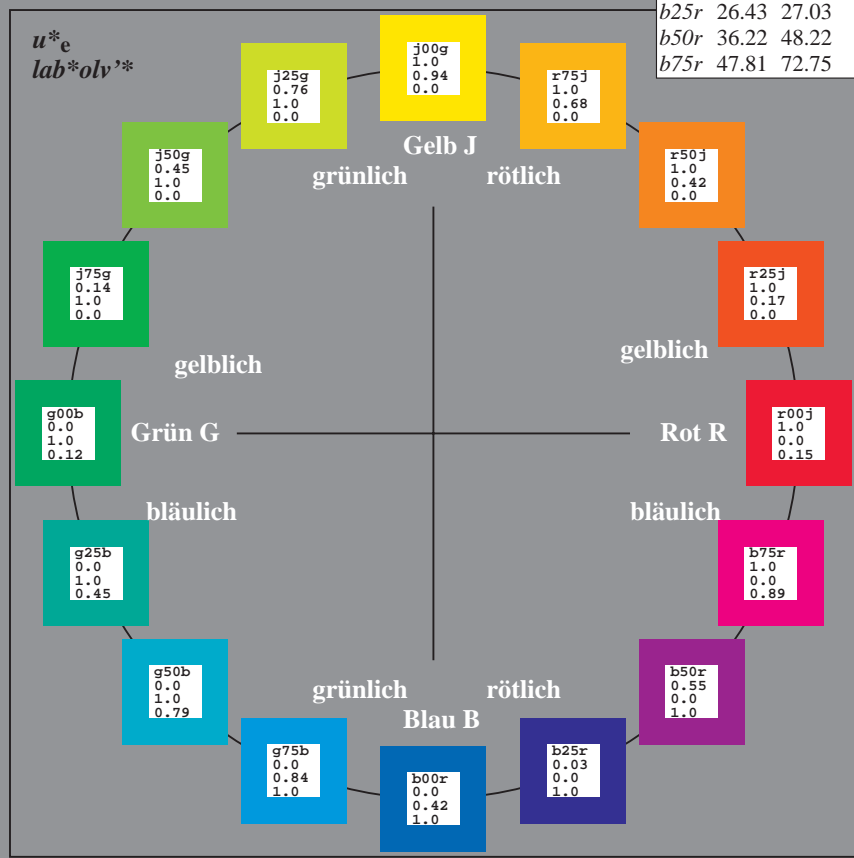
u^*_e	$L^*=L^*_a$	a^*_a	b^*_a	$C^*_{ab,a}$	$h^*_{ab,a}$	u^*_d
<i>r00j</i>	47.06	67.41	32.12	74.67	25	<i>m84o</i>
<i>r25j</i>	53.95	53.38	48.38	72.04	42	<i>o17y</i>
<i>r50j</i>	63.6	35.87	59.45	69.43	59	<i>o42y</i>
<i>r75j</i>	73.37	18.14	70.66	72.95	76	<i>o68y</i>
<i>j00g</i>	85.24	-3.4	84.28	84.35	92	<i>o93y</i>
<i>j25g</i>	78.53	-25.99	72.23	76.76	110	<i>y24l</i>
<i>j50g</i>	68.25	-42.61	56.0	70.37	127	<i>y55l</i>
<i>j75g</i>	58.73	-57.99	40.99	71.02	145	<i>y85l</i>
<i>g00b</i>	55.66	-58.35	18.71	61.27	162	<i>l12c</i>
<i>g25b</i>	58.18	-46.2	-7.82	46.86	190	<i>l45c</i>
<i>g50b</i>	60.08	-37.02	-27.87	46.34	217	<i>l78c</i>
<i>g75b</i>	55.21	-20.63	-42.98	47.67	244	<i>c16v</i>
<i>b00r</i>	41.38	1.37	-45.05	45.07	272	<i>c58v</i>
<i>b25r</i>	26.43	27.03	-46.5	53.78	300	<i>v03m</i>
<i>b50r</i>	36.22	48.22	-29.42	56.48	329	<i>v54m</i>
<i>b75r</i>	47.81	72.75	-3.76	72.85	357	<i>m10o</i>



%Umfang
 $u^*_{rel} = 87$
 %Regularität
 $g^*_{H,rel} = 67$
 $g^*_{C,rel} = 59$

ORS20_95a; CIELAB-Daten

Name	$L^*=L^*$	a^*	b^*	C^*_{ab}	h^*_{ab}
O _M	46.89	66.08	41.48	78.02	32
Y _M	88.66	-10.34	90.28	90.87	97
L _M	54.22	-65.51	35.22	74.38	152
C _M	61.43	-30.85	-40.54	50.94	233
V _M	25.93	26.15	-46.61	53.44	299
M _M	47.92	73.41	-7.8	73.82	354
N _M	20.41	0.28	0.64	0.7	66
W _M	94.64	-0.81	2.2	2.34	110
R _{CIE}	39.92	58.74	27.99	65.07	25
J _{CIE}	81.26	-2.89	71.56	71.62	92
G _{CIE}	52.23	-42.42	13.6	44.55	162
B _{CIE}	30.57	1.41	-46.47	46.49	272



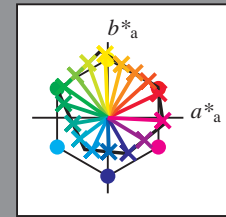
Ein und Ausgabe:
 Farbmatisches Drucker-Reflektiv-System ORS20_95a

Daten für jede Farbe:
 u^*_e und Nummer $Nr.$ = 00 .. 15

Elementar-Bunttextext:
 $u^*_e = 16$ Bunttoene $r00j, r25j, \dots, b75r$

Kontrastreduzierungsfaktor:
 $c_R = 1.0$

ORS20_95a; adaptierte CIELAB-Daten						
u^*_e	$L^*=L^*_a$	a^*_a	b^*_a	$C^*_{ab,a}$	$h^*_{ab,a}$	u^*_d
<i>r00j</i>	47.06	67.41	32.12	74.67	25	<i>m84o</i>
<i>r25j</i>	53.95	53.38	48.38	72.04	42	<i>o17y</i>
<i>r50j</i>	63.6	35.87	59.45	69.43	59	<i>o42y</i>
<i>r75j</i>	73.37	18.14	70.66	72.95	76	<i>o68y</i>
<i>j00g</i>	85.24	-3.4	84.28	84.35	92	<i>o93y</i>
<i>j25g</i>	78.53	-25.99	72.23	76.76	110	<i>y24l</i>
<i>j50g</i>	68.25	-42.61	56.0	70.37	127	<i>y55l</i>
<i>j75g</i>	58.73	-57.99	40.99	71.02	145	<i>y85l</i>
<i>g00b</i>	55.66	-58.35	18.71	61.27	162	<i>l12c</i>
<i>g25b</i>	58.18	-46.2	-7.82	46.86	190	<i>l45c</i>
<i>g50b</i>	60.08	-37.02	-27.87	46.34	217	<i>l78c</i>
<i>g75b</i>	55.21	-20.63	-42.98	47.67	244	<i>c16v</i>
<i>b00r</i>	41.38	1.37	-45.05	45.07	272	<i>c58v</i>
<i>b25r</i>	26.43	27.03	-46.5	53.78	300	<i>v03m</i>
<i>b50r</i>	36.22	48.22	-29.42	56.48	329	<i>v54m</i>
<i>b75r</i>	47.81	72.75	-3.76	72.85	357	<i>m10o</i>



%Umfang
 $u^*_{rel} = 87$
 %Regularität
 $g^*_{H,rel} = 67$
 $g^*_{C,rel} = 59$

ORS20_95a; CIELAB-Daten					
Name	$L^*=L^*$	a^*	b^*	C^*_{ab}	h^*_{ab}
O _M	46.89	66.08	41.48	78.02	32
Y _M	88.66	-10.34	90.28	90.87	97
L _M	54.22	-65.51	35.22	74.38	152
C _M	61.43	-30.85	-40.54	50.94	233
V _M	25.93	26.15	-46.61	53.44	299
M _M	47.92	73.41	-7.8	73.82	354
N _M	20.41	0.28	0.64	0.7	66
W _M	94.64	-0.81	2.2	2.34	110
R _{CIE}	39.92	58.74	27.99	65.07	25
J _{CIE}	81.26	-2.89	71.56	71.62	92
G _{CIE}	52.23	-42.42	13.6	44.55	162
B _{CIE}	30.57	1.41	-46.47	46.49	272

